(12) NACH DEM VERTRAG ÜBER DIE INTERNATIONALE ZUSAMMENARBEIT AUF DEM GEBIET DES PATENTWESENS (PCT) VERÖFFENTLICHTE INTERNATIONALE ANMELDUNG

(19) Weltorganisation für geistiges Eigentum Internationales Büro



(43) Internationales Veröffentlichungsdatum 2. Dezember 2004 (02.12,2004)

PCT

(10) Internationale Veröffentlichungsnummer $WO\ 2004/103944\ A1$

(51) Internationale Patentklassifikation⁷: C07C 51/31, 51/265, C07D 307/89, C07C 51/21

(21) Internationales Aktenzeichen: PCT/EP2004/005246

(22) Internationales Anmeldedatum:

15. Mai 2004 (15.05.2004)

(25) Einreichungssprache:

Deutsch

(26) Veröffentlichungssprache:

Deutsch

(30) Angaben zur Priorität: 103 23 817.4 23. Mai 2003 (23.05.2003) Di

(71) Anmelder (für alle Bestimmungsstaaten mit Ausnahme von US): BASF AKTIENGESELLSCHAFT [DE/DE]; 67056 Ludwigshafen (DE).

(72) Erfinder; und

- (75) Erfinder/Ammelder (nur für US): NETO, Samuel [FR/DE]; R7,39, 68161 Mannheim (DE). ZÜHLKE, Jürgen [DE/DE]; St.-Klara-Kloster-Weg 23, 67346 Speyer (DE). STORCK, Sebastian [DE/DE]; Uhlandstr. 37a, 68167 Mannheim (DE). ROSOWSKI, Frank [DE/DE]; Burgstr. 28, 68165 Mannheim (DE).
- (74) Gemeinsamer Vertreter: BASF AKTIENGE-SELLSCHAFT; 67056 Ludwigshafen (DE).

(81) Bestimmungsstaaten (soweit nicht anders angegeben, für jede verfügbare nationale Schutzrechtsart): AE, AG, AL, AM, AT, AU, AZ, BA, BB, BG, BR, BW, BY, BZ, CA, CH, CN, CO, CR, CU, CZ, DE, DK, DM, DZ, EC, EE, EG, ES, FI, GB, GD, GE, GH, GM, HR, HU, ID, IL, IN, IS, JP, KE, KG, KP, KR, KZ, LC, LK, LR, LS, LT, LU, LV, MA, MD, MG, MK, MN, MW, MX, MZ, NA, NI, NO, NZ, OM, PG, PH, PL, PT, RO, RU, SC, SD, SE, SG, SK, SL, SY, TJ, TM, TN, TR, TT, TZ, UA, UG, US, UZ, VC, VN, YU, ZA, ZM, ZW.

(84) Bestimmungsstaaten (soweit nicht anders angegeben, für jede verfügbare regionale Schutzrechtsart): ARIPO (BW, GH, GM, KE, LS, MW, MZ, NA, SD, SL, SZ, TZ, UG, ZM, ZW), eurasisches (AM, AZ, BY, KG, KZ, MD, RU, TJ, TM), europäisches (AT, BE, BG, CH, CY, CZ, DE, DK, EE, ES, FI, FR, GB, GR, HU, IE, IT, LU, MC, NL, PL, PT, RO, SE, SI, SK, TR), OAPI (BF, BJ, CF, CG, CI, CM, GA, GN, GQ, GW, ML, MR, NE, SN, TD, TG).

Veröffentlicht:

- mit internationalem Recherchenbericht
- vor Ablauf der f\u00fcr \u00e4nderungen der Anspr\u00fcche geltenden Frist; Ver\u00f6ffentlichung wird wiederholt, falls \u00e4nderungen eintreffen

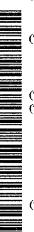
Zur Erklärung der Zweibuchstaben-Codes und der anderen Abkürzungen wird auf die Erklärungen ("Guidance Notes on Codes and Abbreviations") am Anfang jeder regulären Ausgabe der PCT-Gazette verwiesen.

(54) Title: METHOD FOR PRODUCING PHTHALIC ANHYDRIDE

(54) Bezeichnung: VERFAHREN ZUR HERSTELLUNG VON PHTHALSÄUREANHYDRID

(57) Abstract: The invention relates to a method for producing phthalic anhydride during which the catalytic gas phase oxidation of o-xylol and/or naphthalene ensues over at least three layers of catalysts of increasing activity, whereby only the last layer of the catalyst system contains phosphorous, and the last layer contains at least 10 % by weight of vanadium (expressed as V_2O_5) with regard to the active mass of the catalyst and has a ratio of vanadium (expressed as V_2O_5) to phosphorous of greater than 35.

(57) Zusammenfassung: Die Erfindung betrifft ein Verfahren zur Herstellung von Phthalsäureanhydrid bei dem die katalytische Gasphasenoxidation von o-Xylol und/oder Naphthalin über mindestens drei Schichten von Katalysatoren zunehmender Aktivität erfolgt, wobei nur die letzte Schicht des Katalysatorsystems Phosphor enthält und weiterhin die letzte Schicht mindestens 10 Gew.-% Vanadium (berechnet als V₂O₅) bezogen auf die Aktivmasse des Katalysators und ein Verhältnis Vanadium (berechnet als V₂O₅) zu Phosphor von grösser als 35 aufweist.



Verfahren zur Herstellung von Phthalsäureanhydrid

Beschreibung

15

20

25

30

35

Die Erfindung betrifft ein Verfahren zur Herstellung von Phthalsäureanhydrid durch katalytische Gasphasenoxidation von Xylol und/oder Naphthalin mit einem molekularen Sauerstoff enthaltenden Gas in einem Festbett und mittels mindestens drei in Schichten übereinander angeordneter Katalysatoren, deren Aktivität von Schicht zu Schicht von der Gaseintrittsseite zur Gasaustrittsseite ansteigt, auf deren Kern aus Trägermaterial eine Schicht aus katalytisch aktiven Metalloxiden aufgebracht ist.

Phthalsäureanhydrid wird technisch durch katalytische Gasphasenoxidation von o-Xylol oder Naphthalin in Rohrbündelreaktoren hergestellt. Ausgangsmaterial ist ein Gemisch aus einem molekularen Sauerstoff enthaltenden Gas, beispielsweise Luft. und dem zu oxidierenden o-Xylol und/oder Naphthalin. Das Gemisch wird durch eine Vielzahl in einem Reaktor angeordneter Rohre (Rohrbündelreaktor) geleitet, in denen sich eine Schüttung mindestens eines Katalysators befindet. In den letzten Jahren ist man dazu übergegangen, unterschiedlich aktive Katalysatoren schichtweise in der Katalysatorschüttung anzuordnen, wobei sich in der Regel der weniger aktive Katalysator zum Gaseintritt hin in der obersten, ersten Katalysatorschicht und der aktivere Katalysator zum Gasaustritt hin in der untersten, letzten Katalysatorschicht befindet. Dies wurde anfangs in zwei übereinander liegenden Schichten, einer Ober- und einer Unterschicht realisiert (u. a. DE-A 40 13 051, DE-A 197 07 943, DE-A 25 46 268, US 4,469,878, EP-A 539 878, EP-A 286 448, EP-A 906 783). Seit den letzten Jahren wird vorwiegend ein Katalysatorsystem bestehend aus drei übereinanderliegenden Schichten, einer Ober-, Mittel- und Unterschicht, verwendet. Mit dieser Maßnahme kann das Katalysatorsystem im Reaktor in seiner Aktivität dem Reaktionsverlauf entsprechend angepasst werden. In der unteren Schicht zum Gasaustritt hin gelegen wird dabei vornehmlich restliches o-Xylol oder Naphthalin und Zwischenprodukte wie beispielsweise o-Tolylaldehyd und Phthalid zu Phthalsäureanhydrid umgesetzt. Weiterhin werden aber auch Nebenprodukte wie beispielsweise Chinone weiteroxidiert.

Die Möglichkeiten der Aktivitätsstrukturierung sind dabei sehr vielfältig. Eine besondere Beachtung findet in der folgenden Zusammenstellung des Stands der Technik die letzte Katalysatorschicht, insbesondere deren Phosphor- und Vanadiumgehalte und das Verhältnis zueinander (berechnet als V₂O₅ zu P). Trotz vielfacher Variation dieser Wertepaare im Stand der Technik gibt es noch Optimierungsbedarf in bezug auf die Aktivität und Selektivität der letzten Katalysatorschicht.

Die DE-A 198 23 262 beschreibt ein Verfahren zur Herstellung von Phthalsäureanhydrid mit drei in Schichten übereinander angeordnet Schalenkatalysatoren, wobei die Katalysatoraktivität von Schicht zu Schicht von der Gaseintrittsseite zur Gasaustrittsseite ansteigt und durch die Menge der aufgebrachten Aktivmasse und der Alkalidotierung gesteuert wird. In den Beispielen wird Phosphor in der zweiten und in der dritten Schicht verwendet. Vanadiumpentoxid wird mit weniger als 10 Gew.-% in der letzten Schicht verwendet, das Verhältnis von V₂O₅ zu P liegt bei 37.

EP-A 985 648 beschreibt die Herstellung von Phthalsäureanhydrid durch katalytische Gasphasenoxidation von o-Xylol und/oder Naphthalin mit einem Katalysatorsystem, welches so strukturiert ist, dass die "Porosität" des Katalysators und damit die Aktivität vom Reaktoreingang zum Reaktorausgang hin quasi kontinuierlich ansteigt. Die Porosität wird durch das freie Volumen zwischen den beschichteten Formkörpern der Schüttung im Reaktionsrohr definiert. In den Beispielen wird die Aktivitätsstrukturierung durch Hintereinanderschaltung von mindestens drei verschiedenen Katalysatoren realisiert, wobei die ersten zwei Schichten phosphorfrei sind und die Unterschicht 0.65 bis 0.87 Gew.-% Phosphor und 15 bis 20 Gew.-% Vanadiumpentoxid mit einem V₂O₅ / P Verhältnis von 17 bis 31 aufweist. Die BET-Oberfläche der katalytisch aktiven Komponenten beträgt 70 bis 160 m²/g.

20

25

30

35

10

15

Die WO 03/70680 beschreibt ein mehrzoniges Katalysatorsystem. Die Aktivitätsstrukturierung erfolgt über die Aktivmassenmenge auf dem Träger, der Aktivmasse zugesetzten Menge an Dotierungen in Form von Alkalimetallverbindungen und über die Temperaturführung. Es wird beschrieben, dass die letzten beiden Schichten Phosphor enthalten, dass in der letzten Schicht 6 bis 9 Gew.-% Vanadiumpentoxid enthalten sind und dass das Verhältnis von V_2O_5 zu P zwischen 12 und 90 liegt.

In der EP-A 1063222 wird der Einsatz von drei oder mehrlagigen Katalysatoren beschrieben. Die Aktivität der einzelnen Zonen wird durch die Phosphormenge der Aktivmasse, die Menge der Aktivmasse auf dem Trägerring, die Menge der Alkalidotierung der Aktivmasse und der Füllhöhe der einzelnen Katalysatorlagen im Reaktionsrohr verändert. In den Beispielen werden Katalysatorsysteme beschrieben, die in allen Schichten Phosphor enthalten, die letzte Schicht weist 0,1 bis 0,4 Gew.-% Phosphor, ca. 5 Gew.-% Vanadium (umgerechnet zu V₂O₅) und ein Verhältnis von V₂O₅ zu P von 14 bis 40 auf.

Die Aktivitätssteigerung kann demnach durch folgende Maßnahmen oder Kombinationen hieraus erfolgen:

- (1) durch stetigen Anstieg des Phosphorgehalts,
- (2) durch stetigen Anstieg des Aktivmassengehalts,
 - (3) durch stetige Abnahme des Alkaligehalts,
 - (4) durch stetige Abnahme des Leerraumes zwischen den einzelnen Katalysatoren
 - (5) durch stetige Abnahme des Gehalts an Inertstoffen oder
 - (6) durch stetige Zunahme der Temperatur

10

15

20

5

von der Oberschicht (Gaseintritt) zur Unterschicht (Gasaustritt).

Durch Alterungsprozesse verlieren alle Katalysatoren mit zunehmender Lebenszeit an Aktivität. Dies wirkt sich vorwiegend in der Hauptreaktionszone (Oberschicht) aus, da dort die höchste Temperaturbelastung stattfindet. Die Hauptreaktionszone wandert dabei im Laufe der Katalysatorlebenszeit immer tiefer in das Katalysatorbett. Hieraus resultiert, dass Zwischen- und Nebenprodukte nicht mehr vollständig umgesetzt werden können, da sich die Hauptreaktionszone nun auch in Katalysatorzonen befindet, die weniger selektiv und verstärkt aktiv sind. Die Produktqualität des erzeugten Phthalsäureanhydrids verschlechtert sich somit zunehmend. Dem Rückgang der Umsetzung und damit der Verschlechterung der Produktqualität kann zwar durch Erhöhung der Reaktionstemperatur, beispielsweise mittels Erhöhung der Salzbadtemperatur entgegengewirkt werden. Diese Temperaturerhöhung ist allerdings mit einem Rückgang der Ausbeute des Phthalsäureanhydrids verbunden.

25

30

35

Das Vorhandensein von Zwischen- und Nebenprodukten ist weiterhin umso größer, je höher die Beladung der Luft mit dem zu oxidierenden Kohlenwasserstoff ist, da eine hohe Beladung das Wandern der Hauptreaktionszone tiefer in das Katalysatorbett verstärkt. Für eine wirtschaftliche Herstellung sind aber hohe Beladungen von 60 bis 120 g/Nm³ erwünscht.

Die bei der Alterung, insbesondere im Zusammenhang mit einer hohen Beladung, zunehmenden Nebenprodukte umfassen nicht nur Phthalid (PHD), sondern auch insbesondere Anthrachinondicarbonsäure (ADCA) und Benzoylphthalsäureanhydrid (Benzoyl-PSA), sowie nicht umgesetztes o-Xylol. Im Bezug auf die Verringerung von PHD konnten Verbesserungen erzielt werden (beispielsweise DE-A-198 23 262). Hinsichtlich der allgemeinen Nebenproduktbildung besteht allerdings weiterhin Optimierungsbedarf, insbesondere in Hinblick auf ADCA, da Spuren dieser Verbindungen zu einer Gelbfärbung des Phthalsäureanhydrids führen. Eine Reduzierung dieser

Nebenprodukte würde darüber hinaus die Aufarbeitung des Roh-Phthalsäureanhydrids erleichtern.

Der vorliegenden Erfindung lag daher die Aufgabe zugrunde, ein Verfahren zur Herstellung von Phthalsäureanhydrid zur Verfügung zu stellen, das trotz hoher Beladung Phthalsäureanhydrid mit verbesserter Produktqualität bei gleichbleibender oder verbesserter Ausbeute liefert. Neben der Verringerung des gesamten Nebenproduktgehaltes soll insbesondere das Nebenprodukt ADCA bei gleichbleibender oder verbesserter Ausbeute reduziert werden.

10

15

20

25

30

35

40

5

Überraschenderweise wurde nun gefunden, dass diese Aufgabe gelöst werden konnte mittels eines Verfahrens zur Herstellung von Phthalsäureanhydrid durch katalytische Gasphasenoxidation von Xylol und/oder Naphthalin mit einem molekularen Sauerstoff enthaltenden Gas in einem Festbett und mittels mindestens drei in Schichten übereinander angeordneter Katalysatoren, deren Aktivität von Schicht zu Schicht von der Gaseintrittsseite zur Gasaustrittsseite ansteigt, auf deren Kern aus Trägermaterial eine Schicht aus katalytisch aktiven Metalloxiden aufgebracht ist, das dadurch gekennzeichnet ist, dass nur die letzte Katalysatorschicht Phosphor aufweist, dass in der letzten Schicht mindestens 10 Gew.-% Vanadium (berechnet als V_2O_5) bezogen auf die Aktivmasse des Katalysators vorliegen und dass das Verhältnis Vanadium (berechnet als V_2O_5) zu Phosphor einen Wert von größer als 35 aufweist.

Die oberen Katalysatorschichten sind phosphorfrei. Bevorzugt weist die letzte, unterste Katalysatorschicht einen Phosphorgehalt von weniger als 1 Gew.-% (berechnet als P) bezogen auf die Aktivmasse des Katalysators auf, bevorzugt weniger als 0,5 Gew.-%, insbesondere etwa 0,05 bis 0,4 Gew.-%.

Bevorzugt beträgt die Schüttungslänge der letzten Katalysatorschicht weniger als 40 % der Gesamtkatalysatorschüttungslänge aller Schichten; insbesondere beträgt die Schüttungslänge der letzten Schicht weniger als 30 %, besonders bevorzugt weniger als 25 % der Gesamtschüttungslänge aller Schichten. Im Allgemeinen liegt die Mindestschüttungslänge dieser Schicht bei 16 %.

Die Schüttungslänge der ersten Katalysatorschicht (Oberschicht) in einem 3-Schichtenkatalysatorsystem macht vorzugsweise 27 bis 60 %, insbesondere 40 bis 55 % der gesamten Katalysatorfüllhöhe im Reaktor aus. Die Schüttungslänge der Mittelschicht macht vorzugsweise 15 bis 55 %, bevorzugt 20 bis 40 % der Gesamtschüttungslänge aus. Bei einem 4-Schichtenkatalysatorsystem macht die Oberschicht vorteilhaft 27 bis 55 %, insbesondere 32 bis 47 %, die obere Mittelschicht 1 vorteilhaft 5 bis 22 %, bevorzugt 8 bis 18 % und die untere Mittelschicht 2 vorteilhaft 8 bis 35 %, insbesondere WO 2004/103944 PCT/EP2004/005246 5

12 bis 30 %, der Gesamtschüttungshöhe im Reaktor aus. Die Katalysatorschichten können auch gegebenenfalls auf mehrere Reaktoren verteilt werden. Typische Reaktoren weisen eine Füllhöhe von 2,5 bis 3,4 Metern auf.

- 5 Bevorzugt enthält die letzte, unterste Katalysatorschicht mehr als 15 Gew.-% Vanadium (berechnet als V₂O₅) bezogen auf die Aktivmasse des Katalysators, insbesondere 18 bis 22 Gew.-%.
- Das Verhältnis von Vanadium (berechnet als V₂O₅) zu Phosphor (berechnet als P) 10 in der letzten Katalysatorschicht ist vorteilhaft etwa 40 und größer als 40, bevorzugt 45 bis 100, besonders bevorzugt 50 bis 70.

Der Alkaligehalt in der Aktivmasse nimmt vorteilhaft von der obersten Katalysatorschicht zu den mittleren Schichten ab. In der letzten Katalysatorschicht ist vorteilhaft kein Alkali enthalten. In der ersten, obersten Katalysatorschicht ist der Alkaligehalt vorteilhaft kleiner als 1,1 Gew.-% Alkali (berechnet als Alkalimetall) bezogen auf die Aktivmasse des Katalysators, bevorzugt liegt der Alkaligehalt im Bereich von 0,1 bis 0,8 Gew.-% Alkali. In der oder den mittleren Katalysatorschichten liegt der Gehalt an Alkali vorteilhaft bei 0,05 bis 0,6 Gew.-% (berechnet als Alkalimetall) bezogen auf die Aktivmasse des Katalysators, insbesondere 0,05 bis 0,3 Gew.-%. Als Alkali wird bevorzugt Cäsium verwendet. Alkali in der Aktivmasse kann teilweise durch Erdalkali wie beispielsweise Barium, Calcium oder Magnesium ersetzt werden.

Die BET-Oberfläche der katalytisch aktiven Komponenten des Katalysators liegt vorteilhaft im Bereich von 5 bis 50 m²/g, bevorzugt 5 bis 30 m²/g, insbesondere 9 bis 27 m²/g.

30

35

Der Aktivmassenanteil liegt vorzugsweise bei 3 bis 15 Gew.-%, insbesondere bei 4 bis 12 Gew.-%, bezogen auf die Gesamtkatalysatormasse.

Der Gehalt an ADCA ist bei einer Beladung von mindestens 80 g o-Xylol / Nm³ Luft vorteilhaft kleiner 100 ppm, insbesondere kleiner 75 ppm bei einer zum Stand der Technik vergleichbaren oder verbesserten Ausbeute von ca. 113 % (erhaltenes Phthalsäureanhydrid in Gewichtsprozent bezogen auf 100 %iges o-Xylol). Der Gehalt an Benzoyl-PSA ist vorteilhaft kleiner als 20 ppm, insbesondere kleiner als 15 ppm.

PCT/EP2004/005246

Nach einer bevorzugten Ausführungsform eines Drei-Schichtenkatalysatorsystems weist

- der am geringsten aktive Katalysator auf nicht porösem und/oder porösem a) Trägermaterial 7 bis 10 Gew.-%, bezogen auf den gesamten Katalysator, Aktiv-5 masse aufweist, enthaltend 6 bis 11 Gew.-% V2O5, 0 bis 3 Gew.-% Sb2O3, 0 Gew.-% P, 0,1 bis 1,1 Gew.-% Alkali (ber. als Alkalimetall) und als Rest TiO2 in Anatasform,
- der nächst aktivere Katalysator auf nicht porösem und/oder porösem Träger-10 b) material 7 bis 12 Gew.-%, bezogen auf den gesamten Katalysator, Aktivmasse aufweist, enthaltend 5 bis 13 Gew.-% V2O5, 0 bis 3 Gew.-% Sb2O3, 0 Gew.-% P, 0 bis 0,4 Gew.-% Alkali (ber. als Alkalimetali) und als Rest TiO₂ in Anatasform,
 - und der aktivste Katalysator auf nicht porösem und/oder porösem Trägermaterial C) 8 bis 12 Gew.-%, bezogen auf den gesamten Katalysator, Aktivmasse aufweist, enthaltend 10 bis 30 Gew.-% V₂O₅, 0 bis 3 Gew.-% Sb₂O₃, 0 bis 0,43 Gew.-% P, 0 bis 0,1 Gew.-% Alkali (ber. als Alkalimetall) und als Rest TiO2 in Anatasform,

wobei als Alkalimetall bevorzugt Caesium verwendet wird.

15

20

25

30

Das eingesetzte Titandioxid in Anatasform weist vorteilhaft eine BET Oberfläche von 5 bis 50 m²/g auf, insbesondere 15 bis 30 m²/g. Es können auch Mischungen von Titandioxid in Anatasform mit unterschiedlicher BET Oberfläche eingesetzt werden, mit der Maßgabe, dass die resultierende BET-Oberfläche einen Wert von 15 bis 30 m²/g aufweist. Die einzelnen Katalysatorschichten können auch Titandioxid mit unterschiedlichen BET-Oberflächen aufweisen. Bevorzugt nimmt die BET-Oberfläche des eingesetzten Titandioxids von der Oberschicht a) zur Unterschicht c) zu.

Nach einer bevorzugten Ausführungsform eines Vier-Schichtenkatalysatorsystems weist

der am geringsten aktive Katalysator auf nicht porösem und/oder porösem a) Trägermaterial 7 bis 10 Gew.-%, bezogen auf den gesamten Katalysator, Aktiv-35 masse aufweist, enthaltend 6 bis 11 Gew.-% V₂O₅, 0 bis 3 Gew.-% Sb₂O₃, 0 Gew.-% P, 0,1 bis 1,1 Gew.-% Alkali (ber. als Alkalimetall) und als Rest TiO2 in Anatasform,

b1) der nächst aktivere Katalysator auf nicht porösem und/oder porösem Trägermaterial 7 bis 12 Gew.-%, bezogen auf den gesamten Katalysator, Aktivmasse aufweist, enthaltend 4 bis 15 Gew.-% V₂O₅, 0 bis 3 Gew.-% Sb₂O₃, 0 Gew.-% P, 0,1 bis 1 Gew.-% Alkali (ber. als Alkalimetall) und als Rest TiO₂ in Anatasform,

- b2) der nächst aktivere Katalysator auf nicht porösem und/oder porösem Trägermaterial 7 bis 12 Gew.-%, bezogen auf den gesamten Katalysator, Aktivmasse aufweist, enthaltend 5 bis 15 Gew.-% V₂O₅, 0 bis 3 Gew.-% Sb₂O₃, 0 Gew.-% P, 0 bis 0,4 Gew.-% Alkali (ber. als Alkalimetall) und als Rest TiO₂ in Anatasform,
- c) und der aktivste Katalysator auf nicht porösem und/oder poröse Trägermaterial 8 bis 12 Gew.-%, bezogen auf den gesamten Katalysator, Aktivmasse aufweist, enthaltend 10 bis 30 Gew.-% V₂O₅, 0 bis 3 Gew.-% Sb₂O₃, 0 bis 0,43 Gew.-% P, 0 bis 0,1 Gew.-% Alkali (ber. als Alkalimetall) und als Rest TiO₂ in Anatasform,

wobei als Alkalimetall bevorzugt Caesium verwendet wird.

20 Bevorzugt werden drei bis fünf Schichten verwendet.

Allgemein können die Katalysatorschichten, z.B. a), b1), b2) und/oder c), auch so angeordnet sein, dass sie jeweils aus zwei oder mehreren Schichten bestehen. Diese Zwischenschichten haben vorteilhaft intermediate Katalysatorzusammensetzungen.

Anstelle von gegeneinander abgegrenzter Schichten der verschiedenen Katalysatoren kann auch ein quasi-kontinuierlicher Übergang der Schichten und ein quasi-gleichmäßiger Anstieg der Aktivität dadurch bewirkt werden, dass man beim Übergang von einer Schicht zur nächsten Schicht eine Zone mit einer Vermischung der aufeinander

30 folgenden Katalysatoren vornimmt.

5

10

15

25

35

40

Als Katalysatoren sind oxidische Trägerkatalysatoren geeignet. Zur Herstellung von Phthalsäureanhydrid durch Gasphasenoxidation von o-Xylol oder Naphthalin oder Gemische davon verwendet man in der Regel kugelförmige, ringförmige oder schalenförmige Träger aus einem Silikat, Siliciumcarbid, Porzellan, Aluminiumoxid, Magnesiumoxid, Zinndioxid, Rutil, Aluminiumsilikat, Magnesiumsilicat (Steatit), Zirkoniumsilicat oder Cersilicat oder Mischungen davon. Besonders bewährt haben sich sogenannte Schalenkatalysatoren, bei denen die katalytisch aktive Masse schalenförmig auf den Träger aufgebracht ist. In der Aktivmasse liegt neben Titandioxid als katalytisch aktiver Bestandteil vorzugsweise Vanadiumpentoxid vor. Weiter

10

15

20

35

40

können in der katalytisch aktiven Masse in geringen Mengen eine Vielzahl anderer oxidischer Verbindungen enthalten sein, die als Promotoren die Aktivität und Selektivität des Katalysators beeinflussen, beispielsweise indem sie seine Aktivität absenken oder erhöhen. Derartige Promotoren sind beispielsweise die Alkalimetalloxide, Thallium(I)oxid, Aluminiumoxid, Zirkoniumoxid, Eisenoxid, Nickeloxid, Cobaltoxid, Manganoxid, Zinnoxid, Silberoxid, Kupferoxid, Chromoxid, Molybdänoxid, Wolframoxid, Iridiumoxid, Tantaloxid, Nioboxid, Arsenoxid, Antimonoxid, Ceroxid und Phosphorpentoxid. Die Alkalimetalloxide wirken beispielsweise als die Aktivität vermindernde und die Selektivität erhöhende Promotoren. Weiterhin können der katalytisch aktiven Masse organische Binder, bevorzugt Copolymere, vorteilhaft in Form einer wässrigen Dispersion, von Vinylacetat/Vinyllaurat, Vinylacetat/Acrylat, Styrol/Acrylat, Vinylacetat/Maleat, Vinylacetat/Ethylen sowie Hydroxyethylcellulose zugesetzt werden, wobei Bindermengen von 3 bis 20 Gew.-%, bezogen auf den Feststoffgehalt der Lösung der Aktivmassenbestandteile, eingesetzt wurden (EP-A 744 214). Bevorzugt werden organische Binder wie in der DE-A 198 24 532 beschrieben verwendet. Wird die katalytisch aktive Masse ohne organische Bindemittel auf den Träger aufgetragen, so sind Beschichtungstemperaturen über 150°C von Vorteil. Bei Zusatz der oben angegebenen Bindemittel liegen die brauchbaren Beschichtungstemperaturen je nach verwendetem Bindemittel zwischen 50 und 450°C (DE-A 21 06 796). Die aufgetragenen Bindemittel brennen nach dem Einfüllen des Katalysators und Inbetriebnahme des Reaktors innerhalb kurzer Zeit aus. Der Binderzusatz hat zudem den Vorteil, dass die Aktivmasse gut auf dem Träger haftet, so dass Transport und Einfüllen des Katalysators erleichtert werden.

Die Katalysatoren werden zur Reaktion schichtweise in die Rohre eines Rohbündelreaktors gefüllt. Der am geringsten aktive Katalysator wird so im Festbett angeordnet,
dass das Reaktionsgas zuerst mit diesem Katalysator und erst im Anschluss mit dem
nächst aktiveren Katalysator in der folgenden Schicht in Kontakt kommt. Anschließend
kommt das Reaktionsgas mit den noch aktiveren Katalysatorschichten in Kontakt. Die
unterschiedlich aktiven Katalysatoren können auf die gleiche oder auf unterschiedliche
Temperaturen thermostatisiert werden.

Über die so bereitete Katalysatorschüttung wird das Reaktionsgas bei Temperaturen von im allgemeinen 300 bis 450°C, vorzugsweise 320 bis 420°C und besonders bevorzugt von 340 bis 400°C geleitet. Es wird vorteilhaft ein Überdruck von im allgemeinen 0,1 bis 2,5 bar, vorzugsweise von 0,3 bis 1,5 bar, verwendet. Die Raumgeschwindigkeit liegt im allgemeinen bei 750 bis 5000 h⁻¹.

Das dem Katalysator zugeführte Reaktionsgas (Ausgangsgasgemisch) wird im allgemeinen durch Vermischen von einem molekularen Sauerstoff enthaltenden Gas, das

außer Sauerstoff noch geeignete Reaktionsmoderatoren, wie Stickstoff und/oder Verdünnungsmittel, wie Dampf und/oder Kohlendioxid, enthalten kann, mit dem zu oxidierenden, aromatischen Kohlenwasserstoff erzeugt. Das molekularen Sauerstoff enthaltende Gas kann im allgemeinen 1 bis 100 mol–%, vorzugsweise 2 bis 50 mol–% und besonders bevorzugt 10 bis 30 mol–% Sauerstoff, 0 bis 30 mol–%, vorzugsweise 0 bis 10 mol–% Wasserdampf sowie 0 bis 50 mol–%, vorzugsweise 0 bis 1 mol–% Kohlendioxid, Rest Stickstoff, enthalten. Zur Erzeugung des Reaktionsgases wird das molekularen Sauerstoff enthaltende Gas im allgemeinen mit 30 g bis 150 g je Nm³ Gas, insbesondere mit 60 bis 120 g je Nm³, des zu oxidierenden, aromatischen Kohlenwasserstoffs beschickt.

Im Allgemeinen erfolgt die Umsetzung so, dass in der ersten Reaktionszone der größte Teil des im Reaktionsgas enthaltenen o-Xylols und/oder Naphthalins umgesetzt wird.

Die Hot-Spot-Temperatur der obersten Schicht beträgt vorzugsweise 400 bis 470°C, in der oder den Mittelschichten eines mehrlagigen Katalysatorsystems ist sie vorteilhaft kleiner als 420°C, insbesondere kleiner 410°C.

Gewünschtenfalls kann man für die Phthalsäureanhydridherstellung noch einen nachgeschalteten Finishing-Reaktor vorsehen, wie er beispielsweise in der DE-A 198 07 018 oder DE-A 20 05 969 beschrieben ist. Als Katalysator verwendet man dabei vorzugsweise einen noch aktiveren Katalysator als den der untersten Schicht.

25 Phthalsäureanhydrid lässt sich erfindungsgemäß auch bei hohen Beladungen mit o-Xylol und/oder Naphthalin in hoher Ausbeute mit einer geringen Konzentration an Nebenprodukten, insbesondere einer sehr geringen Menge an ADCA und Benzoyl-PSA, herstellen.

30 Beispiele:

35

10

- A. Herstellung der Katalysatoren
- A.1 Herstellung des Katalysators 1 (3-Schichtenkatalysator)

Oberschicht (a)
35,32 g Anatas (TiO₂-1, BET-OF 9 m²/g), 65,58 g Anatas (TiO₂-2, BET-OF 20 m²/g),
7,97 g Vanadiumpentoxid, 2,65 g Antimonoxid, 0,45 g Cäsiumcarbonat wurden in
650 ml entionisiertem Wasser suspendiert und 18 Stunden gerührt, um eine homogene

40 Verteilung zu erzielen. Dieser Suspension wurden 50 g organische Binder, bestehend

aus einem Copolymer aus Vinylacetat und Vinyllaurat in Form einer 50 gew.-%igen wässrigen Dispersion, zugegeben. Die erhaltene Suspension wurde anschließend auf 1200 g Steatit (Magnesiumsilikat) in Form von Ringen (7 x 7 x 4 mm, Außendurchmesser (AD) x Länge (L) x Innendurchmesser (ID)) aufgesprüht und getrocknet. Das Gewicht der aufgetragenen Schale betrug 8 % des Gesamtgewichtes des fertigen Katalysators. Die auf diese Weise aufgebrachte katalytisch aktive Masse, also die Katalysatorschale, enthielt nach einer Stunde Calcination auf 450°C 7,12 Gew.-% Vanadium (berechnet als V_2O_5), 2,37 Gew.-% Antimon (berechnet als Sb₂O₃), 0,33 Gew.-% Cäsium (berechnet als Cs), 31,54 Gew.-% Titandioxid (TiO₂-1) und 58,56 Gew.-% Titandioxid (TiO₂-2).

Mittelschicht (b)

5

10

15

20

25

30

35

40

24,16 g Anatas (TiO₂-1, BET-OF 9 m²/g), 72,48 g Anatas (TiO₂-2, BET-OF 20 m²/g), 7,74 g Vanadiumpentoxid, 2,57 g Antimontrioxid, 0,13 g Cäsiumcarbonat wurden in 650 ml entionisiertem Wasser suspendiert und 18 Stunden gerührt, um eine homogene Verteilung zu erzielen. Dieser Suspension wurden 60 g organische Binder, bestehend aus einem Copolymer aus Vinylacetat und Vinyllaurat in Form einer 50 gew.-%igen wässrigen Dispersion, zugegeben. Die erhaltene Suspension wurde anschließend auf 1200 g Steatit (Magnesiumsilikat) in Form von Ringen (7 x 7 x 4 mm, (AD) x (L) x (ID)) aufgesprüht und getrocknet. Das Gewicht der aufgetragenen Schale betrug 10 % des Gesamtgewichtes des fertigen Katalysators. Die auf diese Weise aufgebrachte katalytisch aktive Masse, also die Katalysatorschale, enthielt nach einer Stunde Calcination auf 450°C 7,12 Gew.-% Vanadium (berechnet als V₂O₅), 2,37 Gew.-% Antimon (berechnet als Sb₂O₃), 0,10 Gew.-% Cäsium (berechnet als Cs), 22,23 Gew.-% Titandioxid (TiO₂-1) und 66,68 Gew.-% Titandioxid (TiO₂-2).

Unterschicht (c)

22,07 g Anatas (TiO₂-1, BET-OF 9 m²/g), 88,28 g Anatas (TiO₂-2, BET-OF 27 m²/g), 28,07 g Vanadiumpentoxid, 1,93 g Ammoniumdihydrogenphosphat wurden in 650 ml entionisiertem Wasser suspendiert und 18 Stunden gerührt, um eine homogene Verteilung zu erzielen. Dieser Suspension wurden 50 g organische Binder, bestehend aus einem Copolymer aus Vinylacetat und Vinyllaurat in Form einer 50 gew.-%igen wässrigen Dispersion, zugegeben. Die erhaltene Suspension wurde anschließend auf 1200 g Steatit (Magnesiumsilikat) in Form von Ringen (7 x 7 x 4 mm, (AD) x (L) x (ID)) aufgesprüht und getrocknet. Das Gewicht der aufgetragenen Schale betrug 10 % des Gesamtgewichtes des fertigen Katalysators. Die auf diese Weise aufgebrachte katalytisch aktive Masse, also die Katalysatorschale, enthielt nach einer Stunde Calcination auf 450°C 20,0 Gew.-% Vanadium (berechnet als V₂O₅), 0,37 Gew.-% Phosphor (berechnet als P), 15,73 Gew.-% Titandioxid (TiO₂-1) und 62,90 Gew.-% Titandioxid (TiO₂-2).

11

A.2. Herstellung des Katalysators 2 (4-Schichtenkatalysator)

Oberschicht (a)

29,27 g Anatas (TiO₂-1, BET-OF 9 m²/g), 69,80 g Anatas (TiO₂-2, BET-OF 21 m²/a). 5 7,83 g Vanadiumpentoxid, 2,61 g Antimonoxid, 0,49 g Cäsiumcarbonat wurden in 650 ml entionisiertem Wasser suspendiert und 18 Stunden gerührt, um eine homogene Verteilung zu erzielen. Dieser Suspension wurden 50 g organische Binder, bestehend aus einem Copolymer aus Vinylacetat und Vinyllaurat in Form einer 50 gew.-%igen wässrigen Dispersion, zugegeben. Die erhaltene Suspension wurde anschließend auf 10 1200 g Steatit (Magnesiumsilikat) in Form von Ringen (7 x 7 x 4 mm, (AD) x (L) x (ID)) aufgesprüht und getrocknet. Das Gewicht der aufgetragenen Schale betrug 8 % des Gesamtgewichtes des fertigen Katalysators. Die auf diese Weise aufgebrachte katalytisch aktive Masse, also die Katalysatorschale, enthielt nach einer Stunde Calcination auf 450°C 7,12 Gew.-% Vanadium (berechnet als V₂O₅), 2,37 Gew.-% Antimon (be-15 rechnet als Sb₂O₃), 0,36 Gew.-% Cäsium (berechnet als Cs), 27,20 Gew.-% Titandioxid (TiO₂-1) und 63,46 Gew.-% Titandioxid (TiO₂-2).

Mittelschicht 1 (b1)

24,61 g Anatas (TiO₂-1, BET-OF 9 m²/g), 74,46 g Anatas (TiO₂-2, BET-OF 21 m²/g), 20 7,82 g Vanadiumpentoxid, 2,60 g Antimonoxid, 0,35 g Cäsiumcarbonat wurden in 650 ml entionisiertem Wasser suspendiert und 18 Stunden gerührt, um eine homogene Verteilung zu erzielen. Dieser Suspension wurden 50 g organische Binder, bestehend aus einem Copolymer aus Vinylacetat und Vinyllaurat in Form einer 50 gew.-%igen wässrigen Dispersion, zugegeben. Die erhaltene Suspension wurde anschließend auf 25 1200 a Steatit (Magnesiumsilikat) in Form von Ringen (7 x 7 x 4 mm, (AD) x (L) x (ID)) aufgesprüht und getrocknet. Das Gewicht der aufgetragenen Schale betrug 8 % des Gesamtgewichtes des fertigen Katalysators. Die auf diese Weise aufgebrachte katalytisch aktive Masse, also die Katalysatorschale, enthielt nach einer Stunde Calcination auf 450°C 7.12 Gew.-% Vanadium (berechnet als V₂O₅), 2,37 Gew.-% Antimon (be-30 rechnet als Sb₂O₃), 0,26 Gew.-% Cäsium (berechnet als Cs), 22,60 Gew.-% Titandioxid (TiO₂-1) und 67,79 Gew.-% Titandioxid (TiO₂-2).

Mittelschicht 2 (b2)

24,82 g Anatas (TiO₂-1, BET-OF 9 m²/g), 74,46 g Anatas (TiO₂-2, BET-OF 21 m²/g),
 7,82 g Vanadiumpentoxid, 2,60 g Antimonoxid, 0,135 g Cäsiumcarbonat wurden in
 650 ml entionisiertem Wasser suspendiert und 18 Stunden gerührt, um eine homogene
 Verteilung zu erzielen. Dieser Suspension wurden 50 g organische Binder, bestehend
 aus einem Copolymer aus Vinylacetat und Vinyllaurat in Form einer 50 gew.-%igen
 wässrigen Dispersion, zugegeben. Die erhaltene Suspension wurde anschließend auf

1200 g Steatit (Magnesiumsilikat) in Form von Ringen (7 x 7 x 4 mm, (AD) x (L) x (ID)) aufgesprüht und getrocknet. Das Gewicht der aufgetragenen Schale betrug 8 % des Gesamtgewichtes des fertigen Katalysators. Die auf diese Weise aufgebrachte katalytisch aktive Masse, also die Katalysatorschale, enthielt nach einer Stunde Calcination auf 450°C 7,12 Gew.-% Vanadium (berechnet als V_2O_5), 2,37 Gew.-% Antimon (berechnet als Sb_2O_3), 0,10 Gew.-% Cäsium (berechnet als Cs), 22,60 Gew.-% Titandioxid (TiO_2 -1) und 67,79 Gew.-% Titandioxid (TiO_2 -2).

Unterschicht (c)

17,23 g Anatas (TiO₂-1, BET-OF 9 m²/g), 69,09 g Anatas (TiO₂-2, BET-OF 27 m²/g), 10 21,97 g Vanadiumpentoxid, 1,55 g Ammoniumdihydrogenphosphat wurden in 650 ml entionisiertem Wasser suspendiert und 18 Stunden gerührt, um eine homogene Verteilung zu erzielen. Dieser Suspension wurden 50 g organische Binder, bestehend aus einem Copolymer aus Vinylacetat und Vinyllaurat in Form einer 50 gew.-%igen wässrigen Dispersion, zugegeben. Die erhaltene Suspension wurde anschließend auf 15 1200 g Steatit (Magnesiumsilikat) in Form von Ringen (7 x 7 x 4 mm, (AD) x (L) x (ID)) aufgesprüht und getrocknet. Das Gewicht der aufgetragenen Schale betrug 8 % des Gesamtgewichtes des fertigen Katalysators. Die auf diese Weise aufgebrachte katalytisch aktive Masse, also die Katalysatorschale, enthielt nach einer Stunde Calcination auf 450°C 20.0 Gew.-% Vanadium (berechnet als V₂O₅), 0,38 Gew.-% Phosphor 20 (berechnet als P), 15,73 Gew.-% Titandioxid (TiO2-1) und 62,90 Gew.-% Titandioxid $(TiO_2-3).$

A.3. Herstellung des Katalysators 3 (P-dotierte Mittelschicht - 3-Schichtenkatalysator - Vergleichsbeispiel 1)

Oberschicht (a)

25

30

35

40

35,32 g Anatas (TiO₂-1, BET-OF 9 m²/g), 65,58 g Anatas (TiO₂-2, BET-OF 20 m²/g), 7,97 g Vanadiumpentoxid, 2,65 g Antimonoxid, 0,45 g Cäsiumcarbonat wurden in 650 ml entionisiertem Wasser suspendiert und 18 Stunden gerührt, um eine homogene Verteilung zu erzielen. Dieser Suspension wurden 50 g organische Binder, bestehend aus einem Copolymer aus Vinylacetat und Vinyllaurat in Form einer 50 Gew.-%igen wässrigen Dispersion, zugegeben. Die erhaltene Suspension wurde anschließend auf 1200 g Steatit (Magnesiumsilikat) in Form von Ringen (7 x 7 x 4 mm, (AD) x (L) x (ID)) aufgesprüht und getrocknet. Das Gewicht der aufgetragenen Schale betrug 8 % des Gesamtgewichtes des fertigen Katalysators. Die auf diese Weise aufgebrachte katalytisch aktive Masse, also die Katalysatorschale, enthielt nach einer Stunde Calcination auf 450°C 7,12 Gew.-% Vanadium (berechnet als V₂O₅), 2,37 Gew.-% Antimon (berechnet als Sb₂O₃), 0,33 Gew.-% Cäsium (berechnet als Cs), 31,54 Gew.-% Titandioxid (TiO₂-1) und 58,56 Gew.-% Titandioxid (TiO₂-2).

10

15

20

25

30

35

40

Mittelschicht (b)

34,32 g Anatas (TiO₂-1, BET-OF 9 m²/g), 102,90 g Anatas (TiO₂-2, BET-OF 20 m²/g), 10,99 g Vanadiumpentoxid, 3,66 g Antimontrioxid, 2,30 g Ammoniumdihydrogen-phosphat und 0,19 g Cäsiumcarbonat wurden in 650 ml entionisiertem Wasser suspendiert und 18 Stunden gerührt, um eine homogene Verteilung zu erzielen. Dieser Suspension wurden 52 g organische Binder, bestehend aus einem Copolymer aus Vinylacetat und Vinyllaurat in Form einer 50 Gew.-%igen wässrigen Dispersion, zugegeben. Die erhaltene Suspension wurde anschließend auf 1200 g Steatit (Magnesiumsilikat) in Form von Ringen (7 x 7 x 4 mm, (AD) x (L) x (ID)) aufgesprüht und getrocknet. Das Gewicht der aufgetragenen Schale betrug 10 % des Gesamtgewichtes des fertigen Katalysators. Die auf diese Weise aufgebrachte katalytisch aktive Masse, also die Katalysatorschale, enthielt nach einer Stunde Calcination auf 450°C 7,12 Gew.-% Vanadium (berechnet als V₂O₅), 2,37 Gew.-% Antimon (berechnet als Sb₂O₃), 0,40 Gew.-% Phosphor (berechnet als P), 0,10 Gew.-% Cäsium (berechnet als Cs), 22,23 Gew.-% Titandioxid (TiO₂-1) und 66,68 Gew.-% Titandioxid (TiO₂-2).

Unterschicht (c)

22,07 g Anatas (TiO₂-1, BET-OF 9 m²/g), 88,28 g Anatas (TiO₂-3, BET-OF 27 m²/g), 28,07 g Vanadiumpentoxid, 1,93 g Ammoniumdihydrogenphosphat wurden in 650 ml entionisiertem Wasser suspendiert und 18 Stunden gerührt, um eine homogene Verteilung zu erzielen. Dieser Suspension wurden 50 g organische Binder, bestehend aus einem Copolymer aus Vinylacetat und Vinyllaurat in Form einer 50 gew.-%igen wässrigen Dispersion, zugegeben. Die erhaltene Suspension wurde anschließend auf 1200 g Steatit (Magnesiumsilikat) in Form von Ringen (7 x 7 x 4 mm, (AD) x (L) x (ID)) aufgesprüht und getrocknet. Das Gewicht der aufgetragenen Schale betrug 10 % des Gesamtgewichtes des fertigen Katalysators. Die auf diese Weise aufgebrachte katalytisch aktive Masse, also die Katalysatorschale, enthielt nach einer Stunde Calcination auf 450°C 20,0 Gew.-% Vanadium (berechnet als V₂O₅), 0,37 Gew.-% Phosphor (berechnet als P), 15,73 Gew.-% Titandioxid (TiO₂-1) und 62,90 Gew.-% Titandioxid (TiO₂-3).

A.4. Herstellung des Katalysators 4 (P-dotierte Oberschicht und Mittelschicht - 3-Schichtenkatalysator - Vergleichsbeispiel 2)

Oberschicht (a)

35,32 g Anatas (TiO₂-1, BET-OF 9 m²/g), 67,96 g Anatas (TiO₂-2, BET-OF 20 m²/g), 8,26 g Vanadiumpentoxid, 2,75 g Antimonoxid, 1,29 g Ammoniumdihydrogenphosphat, 0,47 g Cäsiumcarbonat wurden in 650 ml entionisiertem Wasser suspendiert und 18 Stunden gerührt, um eine homogene Verteilung zu erzielen. Dieser Suspension

wurden 50 g organische Binder, bestehend aus einem Copolymer aus Vinylacetat und Vinyllaurat in Form einer 50 gew.-%igen wässrigen Dispersion, zugegeben. Die erhaltene Suspension wurde anschließend auf 1200 g Steatit (Magnesiumsilikat) in Form von Ringen (7 x 7 x 4 mm, (AD) x (L) x (ID)) aufgesprüht und getrocknet. Das Gewicht der aufgetragenen Schale betrug 8 % des Gesamtgewichtes des fertigen Katalysators. Die auf diese Weise aufgebrachte katalytisch aktive Masse, also die Katalysatorschale, enthielt nach einer Stunde Calcination auf 450°C 7,12 Gew.-% Vanadium (berechnet als V_2O_6), 2,37 Gew.-% Antimon (berechnet als Sb₂O₃), 0,30 Gew.-% Phosphor (berechnet als P), 0,33 Gew.-% Cäsium (berechnet als Cs), 31,54 Gew.-% Titandioxid (TiO₂-1) und 58,56 Gew.-% Titandioxid (TiO₂-2).

Mittelschicht (b)

10

15

20

25

30

35

34,32 g Anatas (TiO₂-1, BET-OF 9 m²/g), 102,90 g Anatas (TiO₂-2, BET-OF 20 m²/g), 10,99 g Vanadiumpentoxid, 3,66 g Antimontrioxid, 2,30 g Ammoniumdihydrogen-phosphat und 0,19 g Cäsiumcarbonat wurden in 650 ml entionisiertem Wasser suspendiert und 18 Stunden gerührt, um eine homogene Verteilung zu erzielen. Dieser Suspension wurden 52 g organische Binder, bestehend aus einem Copolymer aus Vinylacetat und Vinyllaurat in Form einer 50 gew.-%igen wässrigen Dispersion, zugegeben. Die erhaltene Suspension wurde anschließend auf 1200 g Steatit (Magnesiumsilikat) in Form von Ringen (7 x 7 x 4 mm, (AD) x (L) x (ID)) aufgesprüht und getrocknet. Das Gewicht der aufgetragenen Schale betrug 10 % des Gesamtgewichtes des fertigen Katalysators. Die auf diese Weise aufgebrachte katalytisch aktive Masse, also die Katalysatorschale, enthielt nach einer Stunde Calcination auf 450°C 7,12 Gew.-% Vanadium (berechnet als V₂O₅), 2,37 Gew.-% Antimon (berechnet als Sb₂O₃), 0,40 Gew.-% Phosphor (berechnet als P), 0,10 Gew.-% Cäsium (berechnet als Cs), 22,23 Gew.-% Titandioxid (TiO₂-1) und 66,68 Gew.-% Titandioxid (TiO₂-2).

Unterschicht (c)

22,07 g Anatas (TiO₂-1, BET-OF 9 m²/g), 88,28 g Anatas (TiO₂-3, BET-OF 27 m²/g), 28,07 g Vanadiumpentoxid, 1,93 g Ammoniumdihydrogenphosphat wurden in 650 ml entionisiertem Wasser suspendiert und 18 Stunden gerührt, um eine homogene Verteilung zu erzielen. Dieser Suspension wurden 50 g organische Binder, bestehend aus einem Copolymer aus Vinylacetat und Vinyllaurat in Form einer 50 gew.-%igen wässrigen Dispersion, zugegeben. Die erhaltene Suspension wurde anschließend auf 1200 g Steatit (Magnesiumsilikat) in Form von Ringen (7 x 7 x 4 mm, (AD) x (L) x (ID)) aufgesprüht und getrocknet. Das Gewicht der aufgetragenen Schale betrug 10% des Gesamtgewichtes des fertigen Katalysators. Die auf diese Weise aufgebrachte katalytisch aktive Masse, also die Katalysatorschale, enthielt nach einer Stunde Calcination auf 450°C 20,0 Gew.-% Vanadium (berechnet als V₂O₅), 0,37 Gew.-% Phosphor

(berechnet als P), 15,73 Gew.-% Titandioxid (TiO₂-1) und 62,90 Gew.-% Titandioxid (TiO₂-3).

A.5. Herstellung des Katalysators 5 (7,12 Gew.-% V₂O₅ in Schicht (c), V₂O₅ / P = 19,2 - 3-Schichtenkatalysator - Vergleichsbeispiel 3)

Oberschicht (a)

5

10

15

20

25

30

35

35,32 g Anatas (TiO₂-1, BET-OF 9 m²/g), 65,58 g Anatas (TiO₂-2, BET-OF 20 m²/g), 7,97 g Vanadiumpentoxid, 2,65 g Antimonoxid, 0,45 g Cäsiumcarbonat wurden in 650 ml entionisiertem Wasser suspendiert und 18 Stunden gerührt, um eine homogene Verteilung zu erzielen. Dieser Suspension wurden 50 g organische Binder, bestehend aus einem Copolymer aus Vinylacetat und Vinyllaurat in Form einer 50 gew.-%igen wässrigen Dispersion, zugegeben. Die erhaltene Suspension wurde anschließend auf 1200 g Steatit (Magnesiumsilikat) in Form von Ringen (7 x 7 x 4 mm, (AD) x (L) x (ID)) aufgesprüht und getrocknet. Das Gewicht der aufgetragenen Schale betrug 8 % des Gesamtgewichtes des fertigen Katalysators. Die auf diese Weise aufgebrachte katalytisch aktive Masse, also die Katalysatorschale, enthielt nach einer Stunde Calcination auf 450°C 7,12 Gew.-% Vanadium (berechnet als V₂O₅), 2,37 Gew.-% Antimon (berechnet als Sb₂O₃), 0,33 Gew.-% Cäsium (berechnet als Cs), 31,54 Gew.-% Titandioxid (TiO₂-1) und 58,56 Gew.-% Titandioxid (TiO₂-2).

Mittelschicht (b)

24,16 g Anatas (TiO₂-1, BET-OF 9 m²/g), 72,48 g Anatas (TiO₂-2, BET-OF 20 m²/g), 7,74 g Vanadiumpentoxid, 2,57 g Antimontrioxid, 0,13 g Cäsiumcarbonat wurden in 650 ml entionisiertem Wasser suspendiert und 18 Stunden gerührt, um eine homogene Verteilung zu erzielen. Dieser Suspension wurden 60 g organische Binder, bestehend aus einem Copolymer aus Vinylacetat und Vinyllaurat in Form einer 50 gew.-%igen wässrigen Dispersion, zugegeben. Die erhaltene Suspension wurde anschließend auf 1200 g Steatit (Magnesiumsilikat) in Form von Ringen (7 x 7 x 4 mm, (AD) x (L) x (ID)) aufgesprüht und getrocknet. Das Gewicht der aufgetragenen Schale betrug 10 % des Gesamtgewichtes des fertigen Katalysators. Die auf diese Weise aufgebrachte katalytisch aktive Masse, also die Katalysatorschale, enthielt nach einer Stunde Calcination auf 450°C 7,12 Gew.-% Vanadium (berechnet als V₂O₅), 2,37 Gew.-% Antimon (berechnet als Sb₂O₃), 0,10 Gew.-% Cäsium (berechnet als Cs), 22,23 Gew.-% Titandioxid (TiO₂-1) und 66,68 Gew.-% Titandioxid (TiO₂-2).

Unterschicht (c)

40,15 g Anatas (TiO₂-1, BET-OF 9 m²/g), 88,28 g Anatas (TiO₂-3, BET-OF 27 m²/g), 40 9,99 g Vanadiumpentoxid, 1,93 g Ammoniumdihydrogenphosphat wurden in 650 ml

entionisiertem Wasser suspendiert und 18 Stunden gerührt, um eine homogene Verteilung zu erzielen. Dieser Suspension wurden 50 g organische Binder, bestehend aus einem Copolymer aus Vinylacetat und Vinyllaurat in Form einer 50 gew.-%igen wässrigen Dispersion, zugegeben. Die erhaltene Suspension wurde anschließend auf 1200 g Steatit (Magnesiumsilikat) in Form von Ringen (7 x 7 x 4 mm, (AD) x (L) x (ID)) aufgesprüht und getrocknet. Das Gewicht der aufgetragenen Schale betrug 10 % des Gesamtgewichtes des fertigen Katalysators. Die auf diese Weise aufgebrachte katalytisch aktive Masse, also die Katalysatorschale, enthielt nach einer Stunde Calcination auf 450°C 7,12 Gew.-% Vanadium (berechnet als V_2O_5), 0,37 Gew.-% Phosphor (berechnet als P), 15,73 Gew.-% Titandioxid (TiO₂-1) und 62,90 Gew.-% Titandioxid (TiO₂-3).

A.6 Herstellung des Katalysators 6 (11,5 Gew.-% V₂O₅ in Schicht (c), V₂O₅ / P = 31,1
 - 3-Schichtenkatalysator - Vergleichsbeispiel 4)

Oberschicht (a)

5

10

15

20

25

30

35

40

35,32 g Anatas (TiO₂-1, BET-OF 9 m²/g), 65,58 g Anatas (TiO₂-2, BET-OF 20 m²/g), 7,97 g Vanadiumpentoxid, 2,65 g Antimonoxid, 0,45 g Cāsiumcarbonat wurden in 650 ml entionisiertem Wasser suspendiert und 18 Stunden gerührt, um eine homogene Verteilung zu erzielen. Dieser Suspension wurden 50 g organische Binder, bestehend aus einem Copolymer aus Vinylacetat und Vinyllaurat in Form einer 50 gew.-%igen wässrigen Dispersion, zugegeben. Die erhaltene Suspension wurde anschließend auf 1200 g Steatit (Magnesiumsilikat) in Form von Ringen (7 x 7 x 4 mm, (AD) x (L) x (ID)) aufgesprüht und getrocknet. Das Gewicht der aufgetragenen Schale betrug 8 % des Gesamtgewichtes des fertigen Katalysators. Die auf diese Weise aufgebrachte katalytisch aktive Masse, also die Katalysatorschale, enthielt nach einer Stunde Calcination auf 450°C 7,12 Gew.-% Vanadium (berechnet als V₂O₅), 2,37 Gew.-% Antimon (berechnet als Sb₂O₃), 0,33 Gew.-% Cäsium (berechnet als Cs), 31,54 Gew.-% Titandioxid (TiO₂-1) und 58,56 Gew.-% Titandioxid (TiO₂-2).

Mittelschicht (b)

24,16 g Anatas (TiO₂-1, BET-OF 9 m²/g), 72,48 g Anatas (TiO₂-2, BET-OF 20 m²/g), 7,74 g Vanadiumpentoxid, 2,57 g Antimontrioxid, 0,13 g Cäsiumcarbonat wurden in 650 ml entionisiertem Wasser suspendiert und 18 Stunden gerührt, um eine homogene Verteilung zu erzielen. Dieser Suspension wurden 60 g organische Binder, bestehend aus einem Copolymer aus Vinylacetat und Vinyllaurat in Form einer 50 gew.-%igen wässrigen Dispersion, zugegeben. Die erhaltene Suspension wurde anschließend auf 1200 g Steatit (Magnesiumsilikat) in Form von Ringen (7 x 7 x 4 mm, (AD) x (L) x (ID)) aufgesprüht und getrocknet. Das Gewicht der aufgetragenen Schale betrug 10 % des Gesamtgewichtes des fertigen Katalysators. Die auf diese Weise aufgebrachte kataly-

tisch aktive Masse, also die Katalysatorschale, enthielt nach einer Stunde Calcination auf 450°C 7,12 Gew.-% Vanadium (berechnet als V_2O_5), 2,37 Gew.-% Antimon (berechnet als Sb_2O_3), 0,10 Gew.-% Cäsium (berechnet als Cs), 22,23 Gew.-% Titandioxid (TiO_2 -1) und 66,68 Gew.-% Titandioxid (TiO_2 -2).

5

10

Unterschicht (c)

34,00 g Anatas (TiO₂-1, BET-OF 9 m²/g), 88,28 g Anatas (TiO₂-3, BET-OF 27 m²/g), 16,14 g Vanadiumpentoxid, 1,93 g Ammoniumdihydrogenphosphat wurden in 650 ml entionisiertem Wasser suspendiert und 18 Stunden gerührt, um eine homogene Verteilung zu erzielen. Dieser Suspension wurden 50 g organische Binder, bestehend aus einem Copolymer aus Vinylacetat und Vinyllaurat in Form einer 50 gew.-%igen wässrigen Dispersion, zugegeben. Die erhaltene Suspension wurde anschließend auf 1200 g Steatit (Magnesiumsilikat) in Form von Ringen (7 x 7 x 4 mm, (AD) x (L) x (ID)) aufgesprüht und getrocknet. Das Gewicht der aufgetragenen Schale betrug 10 % des Gesamtgewichtes des fertigen Katalysators. Die auf diese Weise aufgebrachte katalytisch aktive Masse, also die Katalysatorschale, enthielt nach einer Stunde Calcination auf 450°C 11,50 Gew.-% Vanadium (berechnet als V₂O₅), 0,37 Gew.-% Phosphor (berechnet als P), 15,73 Gew.-% Titandioxid (TiO₂-1) und 62,90 Gew.-% Titandioxid (TiO₂-3).

20

25

30

35

40

15

B Oxidation von o-Xylol zu PSA

B.1 3-Schichtenkatalysator

Von unten nach oben wurden jeweils 0,70 m des Katalysators der Unterschicht (c), 0,60 m des Katalysators der Mittelschicht (b) und 1,50 m des Katalysators der Oberschicht (a) in ein 3,85 m langes Eisenrohr mit einer lichten Weite von 25 mm eingefüllt. Das Eisenrohr war zur Temperaturregelung von einer Salzschmelze umgeben, eine 2 mm Thermohülse mit eingebautem Zugelement diente der Katalysatortemperaturmessung. Durch das Rohr wurden stündlich von oben nach unten 4 Nm³-Luft mit Beladungen an 98,5 gew.-%igem o-Xylol von 0 bis 100 g/Nm³ geleitet. Nach einer Laufzeit von 10-14 Tagen wird die o-Xylol-Zufuhr unterbrochen und der Katalysator über einen Zeitraum von 72 Stunden folgenden Bedingungen ausgesetzt: Salzbadtemperatur (SBT) von 410°C, Luft 2 Nm³/h. Dabei wurden bei 60-100 g o-Xylol/Nm³ die in Tabelle 1 und 2 zusammengefaßten Ergebnisse erhalten ("PSA-Aubeute" bedeutet das erhaltene PSA in Gewichtprozent, bezogen auf 100%iges o-Xylol).

B.2 4-Schichtenkatalysator

Von unten nach oben wurden jeweils 0,70 m des Katalysators der Unterschicht (c), 0,70 m des Katalysators der Mittelschicht 2 (b2), 0,50 m des Katalysators der Mittelschicht 1 (b1) und 1,30 m des Katalysators der Oberschicht (a) in ein 3,85 m langes

18

Eisenrohr mit einer lichten Weite von 25 mm eingefüllt. Im übrigen erfolgte die Versuchsdurchführung wie in B.1 angegeben.

Die Versuchsergebnisse nach der Aktivierung sind in Tabelle 1 und 2 zusammen-5 gestellt.

Folgende Abkürzungen wurden verwendet:

	HST	Hot-Spot-Temperatur
10	os	Oberschicht
	MS	Mittelschicht
	US	Unterschicht
	ROG	Reaktion-Outlet-Gas
	SBT	Salzbadtemperatur
15	PHD	Phthalid
	PSA	Phthalsäureanhydrid
	Benzoyl-PSA	4-Benzoylphthalsäureanhydrid
	ADCA	Anthrachinondicarbonsäureanhydrid

Tabelle 1: Herstellung von PSA bei 60-80 g o-Xylol / Nm³ Beladung mit einem 3-Schichtenkatalysator

Katalysator		3	4	2
3-Schichtenkatalysatoren:	erfindungsgemäß	Vergleichsbeispiel 1	Vergleichsbeispiel 2	Vergleichsbeispiel 1 Vergleichsbeispiel 2 Vergleichsbeispiel 3
Oberschicht Mittelschicht	P.frai P-frai	P-frei 0,40 Gew% P	0:30 Gew% P 0:40 Gew% P	P-frei P-frei
Unterschicht: Letzte Lage	20 Gew% V ₂ O ₆ 0,37 Gew% P V ₂ O ₆ / P = 54,1	20 Gew% V ₂ O ₅ 0,37 Gew% P V ₂ O ₅ / P = 54,1	20.Gew% V₂Og 0,37.Gew%.P V₂Og,7.P ≅ 54.1	7,12 Gew% V ₂ O ₆ 0,37 Gew% P V ₂ O ₆ / P = 19.2
Beladung [g/Nm³]	80	09	58	70
SBT [°C]	360	375	375	362
Laufzeit [d]	09	29	16	30
HST-OS [°C]	426	433	447	447
HST-MS [°C]	397	416	419	395
Durchschnittliche PSA-Ausbeute [m/m-%]	113,0	111,5	110,5	112.0
ADCA [ppm]	29	180	325	107
Benzoyl-PSA [ppm]	13	26	27	14
Rest o-Xylol [Gew%]	0,004	0,012	0,010	0,011
PHD [Gew%]	0000	0;050	090'0	0,068

Tabelle 2: Herstellung von PSA bei 70-100 g o-Xylol / Nm3 Beladung mit einem 3-Schichten- und einem 4-Schichtenkatalysator

Katalysator		2	9
3- und 4-Schichtenkatalysatoren	erfindungsgemäß	erfindungsgemäß 4-Schichtenkat	Vergleichsbeispiel 4
	P-frei	p-frei	P.ffei
	P-frei	P-frei D-frei	P-frei
Mittelschicht 2			
Unterschicht: Letzte Lage	20 Gew% V ₂ Os	20 Gew% V ₂ Os	11,5 Gew% V ₂ O ₅
	0,37 Gew% P	0,37 Gew% P	0,37 Gew.% P
	V ₂ O ₆ / P = 54,1	$V_2O_6 / P = 54,1$	V ₂ O ₆ / P = 31,1
Beladung [g/Nm³]	100	100	70
SBT [°C]	358	360	372
Laufzeit [d]	39	52	27
HST-OS [°C]	446	440	445
HST-MS [°C]	429	432	423
Durchschnittliche PSA-Ausbeute [m/m-%]	112,5	113,5	112,2
ADCA [ppm]	69	45	82
Benzoyl-PSA [ppm]	15	12	13
Rest o-Xylol [Gew%]	0,015	0,003	0,004
PHD [Gew%]	090'0	0,020	0,072

Zusammensetzung der Katalysatoren (%-Angaben = Gew.-%)

Katalysator 1

Katalysator	Oberschicht	Mittelschicht	Unterschicht
Aktivmasse [%]	8	10	10
TiO ₂ -1, 9 m ² /g [%]	31,54	22,23	15,73
TiO ₂ -2, 20 m ² /g [%]	58,56	66,68	•
TiO ₂ -3, 27 m ² /g [%]	-	-	62,90
V ₂ O ₅ [%]	7,12	7,12	20,0
Sb ₂ O ₃ [%]	2,37	2,37	ba .
Cs [%]	0,33	0,10	-
P [%]	-	-	0,37

5 Katalysator 2

Katalysator	Oberschicht	Mittelschicht 1	Mittelschicht 2	Unterschicht
Aktivmasse [%]	8	8	8	8
TiO ₂ -1, 9 m ² /g [%]	27,20	22,60	22,60	15,73
TiO ₂ -2, 20 m ² /g [%]	63,46	67,79	67,79	-
TiO ₂ -3, 27 m ² /g [%]	-	-	_	62,90
V ₂ O ₅ [%]	7,12	7,12	7,12	20,0
Sb ₂ O ₃ [%]	2,37	2,37	2,37	-
Cs [%]	0,33	0,25	0,10	•
P [%]		-		0,37

Katalysator 3 - Vergleichsbeispiel

Katalysator	Oberschicht	Mittelschicht	Unterschicht
Aktivmasse [%]	8	10	10
TiO ₂ -1, 9 m ² /g [%]	31,54	22,23	15,73
TiO ₂ -2, 20 m ² /g [%]	58,56	66,68	-
TiO ₂ -3, 27 m ² /g [%]	-	-	62,90
V ₂ O₅ [%]	7,12	7,12	20,0
Sb ₂ O ₃ [%]	2,37	2,37	-
Cs [%]	0,33	0,10	*
P [%]	-	0,40	0,37

Katalysator 4 - Vergleichsbeispiel

Katalysator	Oberschicht	Mittelschicht	Unterschicht
Aktivmasse [%]	8	10	10
TiO ₂ -1, 9 m ² /g [%]	31,54	22,23	15,73
TiO ₂ -2, 20 m ² /g [%]	58,56	66,68	-
TiO ₂ -3, 27 m ² /g [%]	-	4	62,9
V ₂ O ₅ [%]	7,12	7,12	20,0
Sb ₂ O ₃ [%]	2,37	2,37	
Cs [%]	0,33	0,10	_
P [%]	0,30	0,40	0,37

Katalysator 5 - Vergleichsbeispiel

Katalysator	Oberschicht	Mittelschicht	Unterschicht
Aktivmasse [%]	8	10	10
TiO ₂ -1, 9 m ² /g [%]	31,54	22,23	15,73
TiO ₂ -2, 20 m ² /g [%]	58,56	66,68	ji.
TiO ₂ -3, 27 m ² /g [%]	•••	-	62,90
V ₂ O ₅ [%]	7,12	7,12	7,12
Sb ₂ O ₃ [%]	2,37	2,37	•
Cs [%]	0,33	0,10	-
P [%]	-	-	0,37

5 Katalysator 6 - Vergleichsbeispiel

Katalysator	Oberschicht	Mittelschicht	Unterschicht
Aktivmasse [%]	8	10	10
TiO ₂ -1, 9 m ² /g [%]	31,54	22,23	15,73
TiO ₂ -2, 20 m ² /g [%]	58,56	66,68	
TiO ₂ -3, 27 m ² /g [%]	-	*	62,90
V ₂ O ₅ [%]	7,12	7,12	11,50
Sb ₂ O ₃ [%]	2,37	2,37	-
Cs [%]	0,33	0,10	**
P [%]	-	-	0,37

30

Patentansprüche

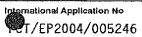
- Verfahren zur Herstellung von Phthalsäureanhydrid durch katalytische Gasphasenoxidation von Xylol und/oder Naphthalin mit einem molekularen Sauerstoff enthaltenden Gas in einem Festbett und mittels mindestens drei in Schichten übereinander angeordneter Katalysatoren, deren Aktivität von Schicht zu Schicht von der Gaseintrittsseite zur Gasaustrittsseite ansteigt, auf deren Kern aus Trägermaterial eine Schicht aus katalytisch aktiven Metalloxiden aufgebracht ist, dadurch gekennzeichnet, dass nur die letzte Katalysatorschicht Phosphor aufweist, dass in der letzten Schicht mindestens 10 Gew.-% Vanadium (berechnet als V₂O₅) bezogen auf die Aktivmasse des Katalysators vorliegen und dass das Verhältnis Vanadium (berechnet als V₂O₅) zu Phosphor einen Wert von größer als 35 aufweist.
- Verfahren nach Anspruch 1, dadurch gekennzeichnet, dass die Schüttungslänge der letzten Katalysatorschicht h\u00fcchstens 40 % der Gesamtsch\u00fcttungsl\u00e4nge aller Schichten betr\u00e4gt.
- Verfahren nach Anspruch 1, dadurch gekennzeichnet, dass die Schüttungslänge
 der letzten Katalysatorschicht h\u00f6chstens 25 \u00d8 der Gesamtsch\u00fcttungsl\u00e4nge aller
 Schichten betr\u00e4gt.
 - Verfahren nach den Ansprüchen 1 bis 3, dadurch gekennzeichnet, dass das Verhältnis Vanadium (berechnet als V₂O₅) zu Phosphor in der letzten Katalysatorschicht einen Wert von 40 bis 100 aufweist.
 - Verfahren nach den Ansprüchen 1 bis 4, dadurch gekennzeichnet, dass die letzte Katalysatorschicht mindestens 15 Gew.-% Vanadium (berechnet als V₂O₅) bezogen auf die Aktivmasse des Katalysators aufweist.
 - Verfahren nach den Ansprüchen 1 bis 5, dadurch gekennzeichnet, dass die letzte Katalysatorschicht 18 bis 22 Gew.-% Vanadium (berechnet als V₂O₅) bezogen auf die Aktivmasse des Katalysators aufweist.
- Verfahren nach den Ansprüchen 1 bis 6, dadurch gekennzeichnet, dass die erste Katalysatorschicht weniger als 1,1 Gew.-% Alkali (berechnet als Alkalimetall) bezogen auf die Aktivmasse des Katalysators aufweist.

- 8. Verfahren nach den Ansprüche 1 bis 7, dadurch gekennzeichnet, dass die erste Katalysatorschicht einen Alkaligehalt von 0,1 bis 0,8 Gew.-% Alkali (berechnet als Alkalimetall) bezogen auf die Aktivmasse und die mittlere(n) Katalysatorschicht(en) einen Alkaligehalt von 0,05 bis 0,6 Gew.-% (berechnet als Alkalimetall) aufweisen.
- Verfahren nach den Ansprüchen 1 bis 8, dadurch gekennzeichnet, dass man Cäsium als Alkalimetallzusatz verwendet.

15

- 10 10. Verfahren nach den Ansprüchen 1 bis 9, dadurch gekennzeichnet, dass die letzte Katalysatorschicht weniger als 1 Gew.-% Phosphor aufweist.
 - 11. Verfahren nach den Ansprüchen 1 bis 10, dadurch gekennzeichnet, dass die BET-Oberfläche der Aktivmasse einen Wert von 5 bis 50 m²/g aufweist.
 - Verfahren nach den Ansprüchen 1 bis 11, dadurch gekennzeichnet, dass der Aktivmassenanteil bezogen auf die Gesamtmasse des Katalysators bei 3 bis 15 Gew.-% liegt.
- 20 13. Verfahren nach den Ansprüchen 1 bis 12, dadurch gekennzeichnet, dass der Gehalt an Anthrachinondicarbonsäure im Produkt Phthalsäureanhydrid unter 75 ppm liegt.

INTERNATIONAL SEARCH REPORT



A. CLASSII IPC 7	FICATION OF SUBJECT MATTER CO7C51/31 CO7C51/265 CO7D307/	/89 C07C51/21						
According to	According to International Patent Classification (IPC) or to both national classification and IPC							
	SEARCHED	***************************************						
Minimum documentation searched (classification system followed by classification symbols) IPC 7 CO7C CO7D								
Documentation searched other than minimum documentation to the extent that such documents are included in the fields searched								
Electronic data base consulted during the international search (name of data base and, where practical, search terms used)								
EPO-Internal, WPI Data, PAJ, BEILSTEIN Data, CHEM ABS Data, BIOSIS								
C. DOCUMENTS CONSIDERED TO BE RELEVANT								
Category °	Citation of document, with indication, where appropriate, of the rele	evant passages	Relevant to dalm No.					
A	EP 0 985 648 A (NIPPON STEEL CHEMICAL CO) 15 March 2000 (2000-03-15) cited in the application page 4, line 45 - page 5, line 4; claim 7; tables 1,2							
А	DE 198 23 262 A (BASF AG) 2 December 1999 (1999-12-02) cited in the application page 3, line 39 - line 41; claim 1	1; table	1-13					
Furth	ner documents are listed in the continuation of box C.	X Patent family members are listed in	annex.					
	tegories of cited documents :	*T' tater document published after the inter or priority date and not in conflict with t	national filing date					
consid "E" earlier o	ent defining the general state of the art which is not ered to be of particular relevance bournent but published on or after the International	cited to understand the principle or the invention "X" document of particular relevance; the ci-	ory underlying the					
which	nt which may throw doubts on priority claim(s) or is cited to establish the publication date of another		ument is taken alone almed invention					
which is cited to establish the publication date of another citation or other special reason (as specified) "O" document referring to an craft disclosure, use, exhibition or other means "P" document published prior to the international filting date but "Y" document of particular relevance; the claimed invention cannot be considered to involve an inventive step when the document is combined with one or more other such document is combined with one or more other such documents, such combination being obvious to a person skilled in the art.								
later th		*&* document member of the same patent f:	amily					
Date of the a	actual completion of the international search September 2004	Date of mailing of the international sear 20/09/2004	ch report					
Name and n	nailing address of the ISA	Authorized officer						
	Name and mailing address of the ISA European Patent Office, P.B. 5818 Patentlaan 2 NL. — 2280 HV Rijswijk Tel. (+31-70) 340-2040, Tx. 31 651 epo ni, Fax: (+31-70) 340-3016 Authorized officer Härtinger, S							

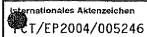
INTERNATIONAL SEARCH REPORT

information on patent family members

CT/EP2004/005246

Patent document cited in search report		Publication date		Patent family member(s)		Publication date
EP 0985648	Α.	15-03-2000	AU	4722497	Α	15-05-1998
			DE	69722261	D1	26-06-2003
			DE	69722261	T2	25-03-2004
			EP	0985648	A1	15-03-2000
			JP	3490684	B2	26-01-2004
			US	6369240	B1	09-04-2002
			CN	,	A	08-12-1999
			WO	9817608	A1	30-04-1998
			KR	2000052776	A	25-08-2000
			T₩	415939	В	21-12-2000
			ZA	9709362	A	12-05-1998
DE 19823262	Α	02-12-1999	DE	19823262	A1	02-12-1999
			CN	1131859	В	24-12-2003
			DE	59904964	D1	15-05-2003
			WO	9961433	A1	02-12-1999
			EP	1084115	A1	21-03-2001
			€S	2197684	T3	01-01-2004
			ID	27092	A	01-03-2001
			JР	2002516319	T	04-06-2002
			TW	444004	В	01-07-2001
			US	6700000	B1	02-03-2004

INTERNATIONALER RECHERCHENBERICHT



a. Klassi IPK 7	FIZIERUNG DES ANMELDUNGSGEGENSTANDES C07C51/31 C07C51/265 C07D307/	/89 C07C51/21					
Nach der In	ternationalen Patentklassifikation (IPK) oder nach der nationalen Kta	ssifikation und der IPK	**************************************				
8. RÉCHERCHIERTE GÉBIETE							
Recherchierter Mindestprüfstoff (Klassifikationssystem und Klassifikationssymbole) IPK 7 C07C C07D							
Recherchierte aber nicht zum Mindestprüfstoff gehörende Veröffentlichungen, soweit diese unter die recherchierten Gebiete fallen							
Während der internationalen Recherche konsultierte elektronische Datenbank (Name der Datenbank und evtl. verwendete Suchbegriffe)							
EPO-Internal, WPI Data, PAJ, BEILSTEIN Data, CHEM ABS Data, BIOSIS							
C. ALS WE	SENTLICH ANGESEHENE UNTERLAGEN						
Kategorie°	Bezeichnung der Veröffentlichung, soweit erforderlich unter Angab	e der in Setracht kommenden Teile	Betr. Anspruch Nr.				
Α .	EP 0 985 648 A (NIPPON STEEL CHEN 15. März 2000 (2000-03-15) in der Anmeldung erwähnt Seite 4, Zeile 45 - Seite 5, Zeil Anspruch 7; Tabellen 1,2		1-13				
А	DE 198 23 262 A (BASF AG) 2. Dezember 1999 (1999-12-02) in der Anmeldung erwähnt Seite 3, Zeile 39 - Zeile 41; Ans Tabelle 1	spruch 1;	1-13				
	tere Veröffentlichungen sind der Fortsetzung von Feld C zu ehmen	X Siehe Anhang Patentfamilie					
entrehmen Besondere Kategorien von angegebenen Veröffentlichungen: "A* Veröffentlichung, die den altgemeinen Stand der Technik definiert, aber nicht als besonders bedeutsam anzusehen ist "E* älteres Dokument, das jedoch erst am oder nach dem internationalen Anmetdedatum veröffentlich worden ist "Anmetdedatum veröffentlich worden ist "Anmetdedatum veröffentlich worden ist "Anmetdedatum veröffentlich worden ist "Veröffentlichung, die geeignet ist, einen Prioritätsanspruch zweifelnatt erscheinen zu lassen, oder durch die das Veröffentlichungsdatum einer anderen im Recherchenbericht genannten Veröftentlichung belegt werden soll oder die aus einem anderen besonderen Grund angegeben ist (wie ausgelührt) entre den veröffentlichung, die nach dem internationalen Anmetdedatum veröffentlicht worden ist und mit der Anmetdung nicht kolidiert, sondern nur zum Verständnis des der Erfindung zugrundeliegenden Prinzips oder der ihr zugrundeliegenden Prinzips oder de							
eine B *P* Veröffe	milichung, die sich auf eine mündliche Offenbarung, lenutzung, eine Ausstellung oder andere Maßnahmen bezieht ntlichung, die vor dem internationalen Anmekledaturn, aber nach leanspruchten Prioritätsdatum veröffentlicht worden ist	Veröffentlichungen dieser Kategorie in diese Verbindung für einen Fachmann *&* Veröffentlichung, die Mitglied derselben	naheliegend ist				
Datum des	Abschlusses der internationalen Recherche	Absendedatum des internationalen Red	cherchenberichts				
9	. September 2004	20/09/2004					
Name und F	Postanschräft der Internationalen Recherchenbehörde Europäisches Patentamt, P.B. 5818 Patentlaan 2	Bevollmächtigter Bediensteter	· · · · · · · · · · · · · · · · · · ·				
	Europäisches Palentamt, P.B. 5818 Patentlaan 2 NL – 2280 HV Rijswijk Tet. (+31-70) 340-2040, Tx. 31 651 epo nl, Fax: (+31-70) 340-3016 Härtinger, S						

INTERNATIONALER RECHERCHENBERICHT

Angaben zu Verötten ngen, die zur selben Patentfamilie gehören

Internationales Aldenzeichen
T/EP2004/005246

lm Recherchenbericht angeführtes Patentdokument		Datum der Veröffentlichung	Mitglied(er) der Patentfamilie			Datum der Veröffentlichung	
EP 0985648	A	15-03-2000	AU	4722497	A	15-05-1998	
			DE	69722261	D1	26-06-2003	
			DE	69722261	T2	25-03-2004	
			EP	0985648	A1	15-03-2000	
			JP	3490684	B2	26-01-2004	
			U\$	6369240	B1	09-04-2002	
			CN	1237951	A	08-12-1999	
			WO	9817608	A1	30-04-1998	
			KR	2000052776	A	25082000	
			TW	415939	В	21-12-2000	
			ZA	9709362	A	12-05-1998	
DE 19823262	A	02-12-1999	DE	19823262	A1	02-12-1999	
			CN	1131859	В	24-12-2003	
			DE	59904964	D1 .	15-05-2003	
			WO	9961433	A1	02-12-1999	
			EP	1084115	A1	21-03-2001	
			ES	2197684	T3	01-01-2004	
			ID	27092	A	01-03-2001	
			JP	2002516319	T	04-06-2002	
			TW	444004	В	01-07-2001	
,			US	6700000	B1	02-03-2004	

		Si .
		.1